

Fig. 1A (prior art)

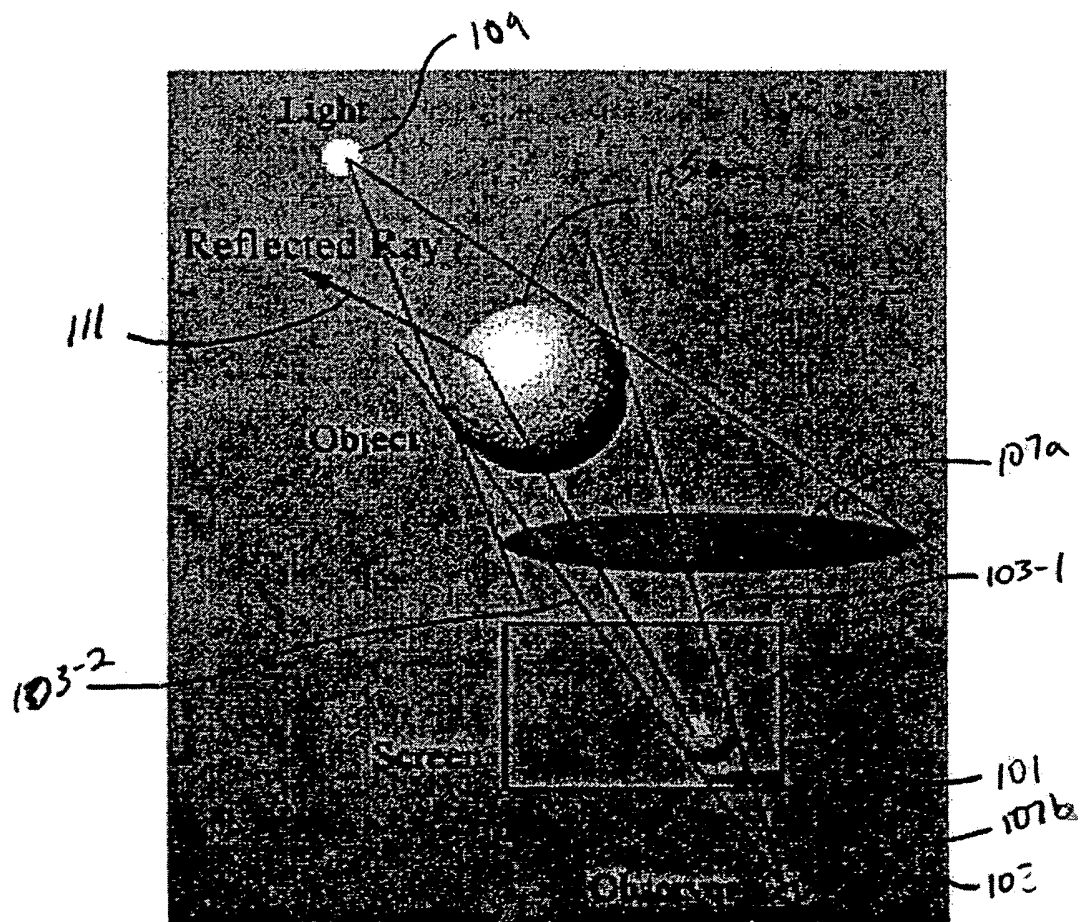


Fig 1B

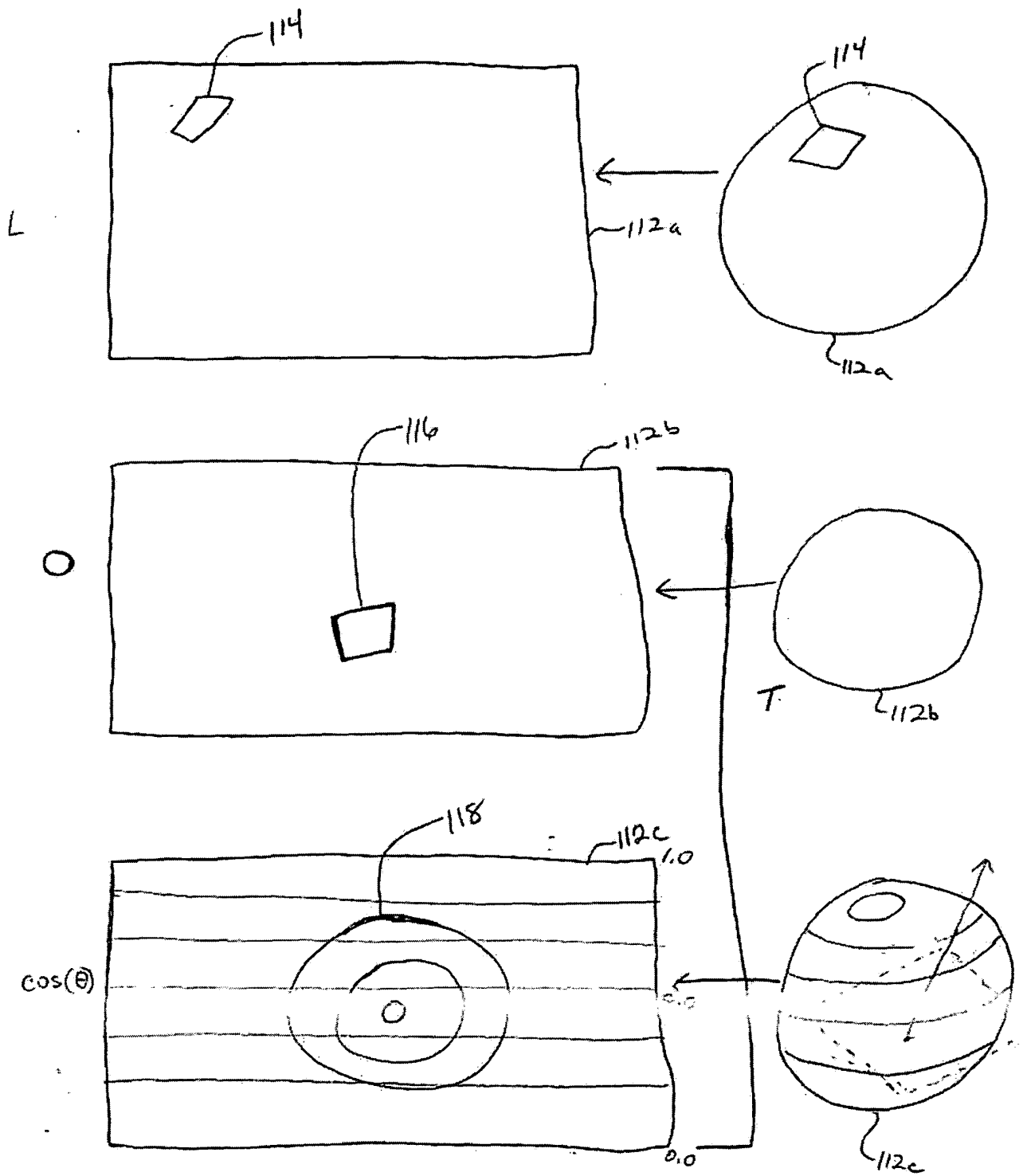


Fig. 2A

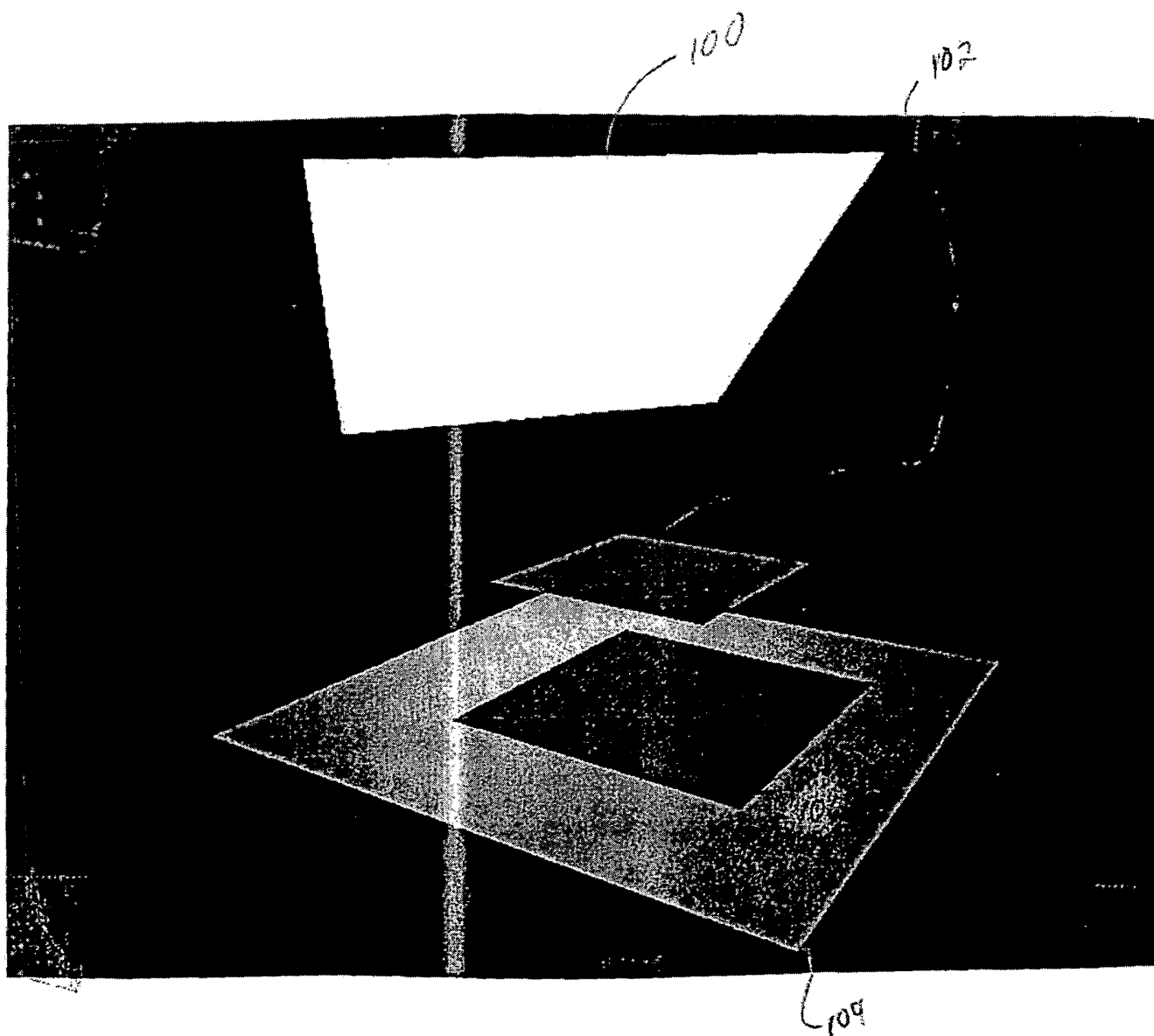


Figure 2B

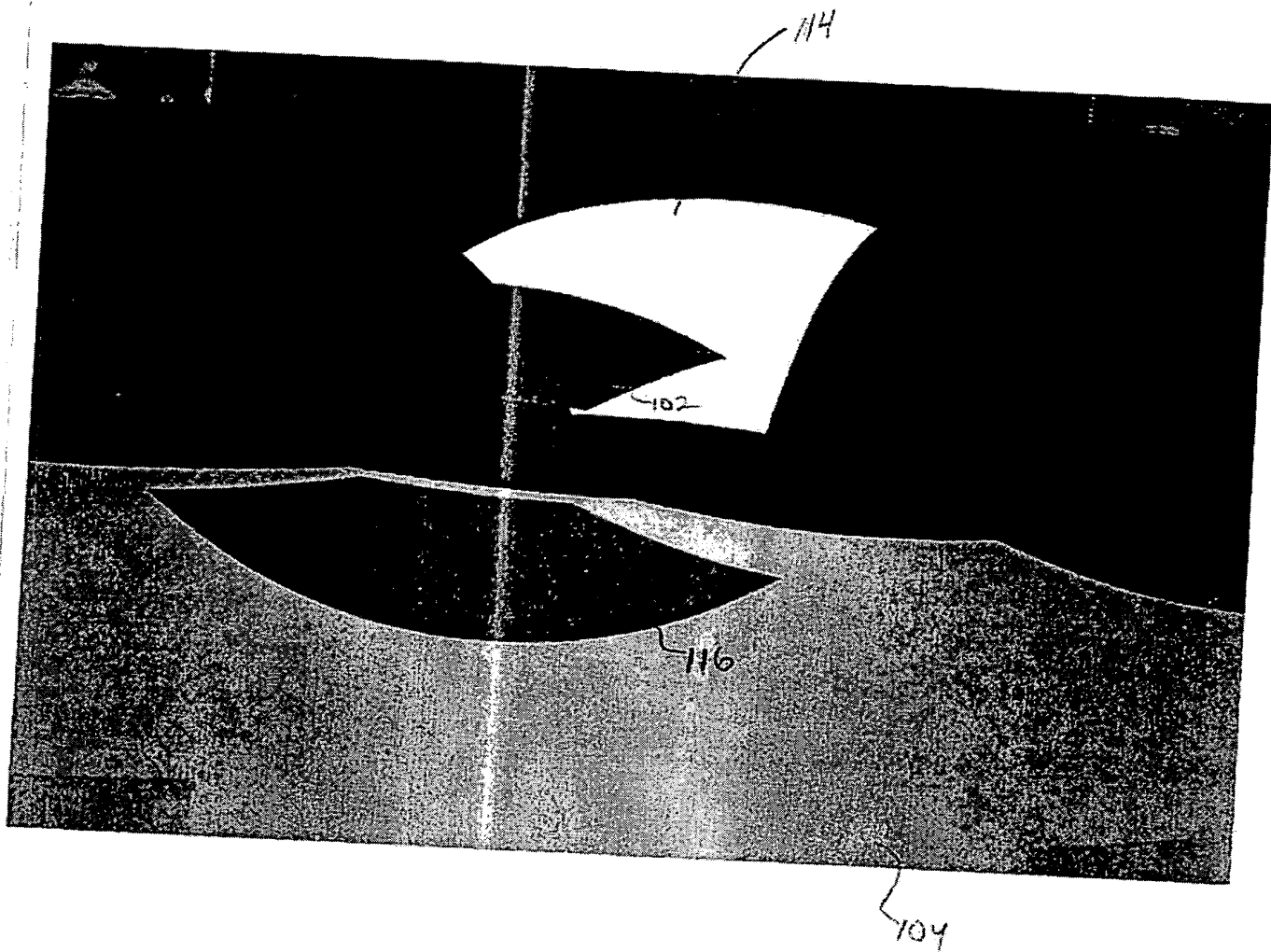


Figure 2C

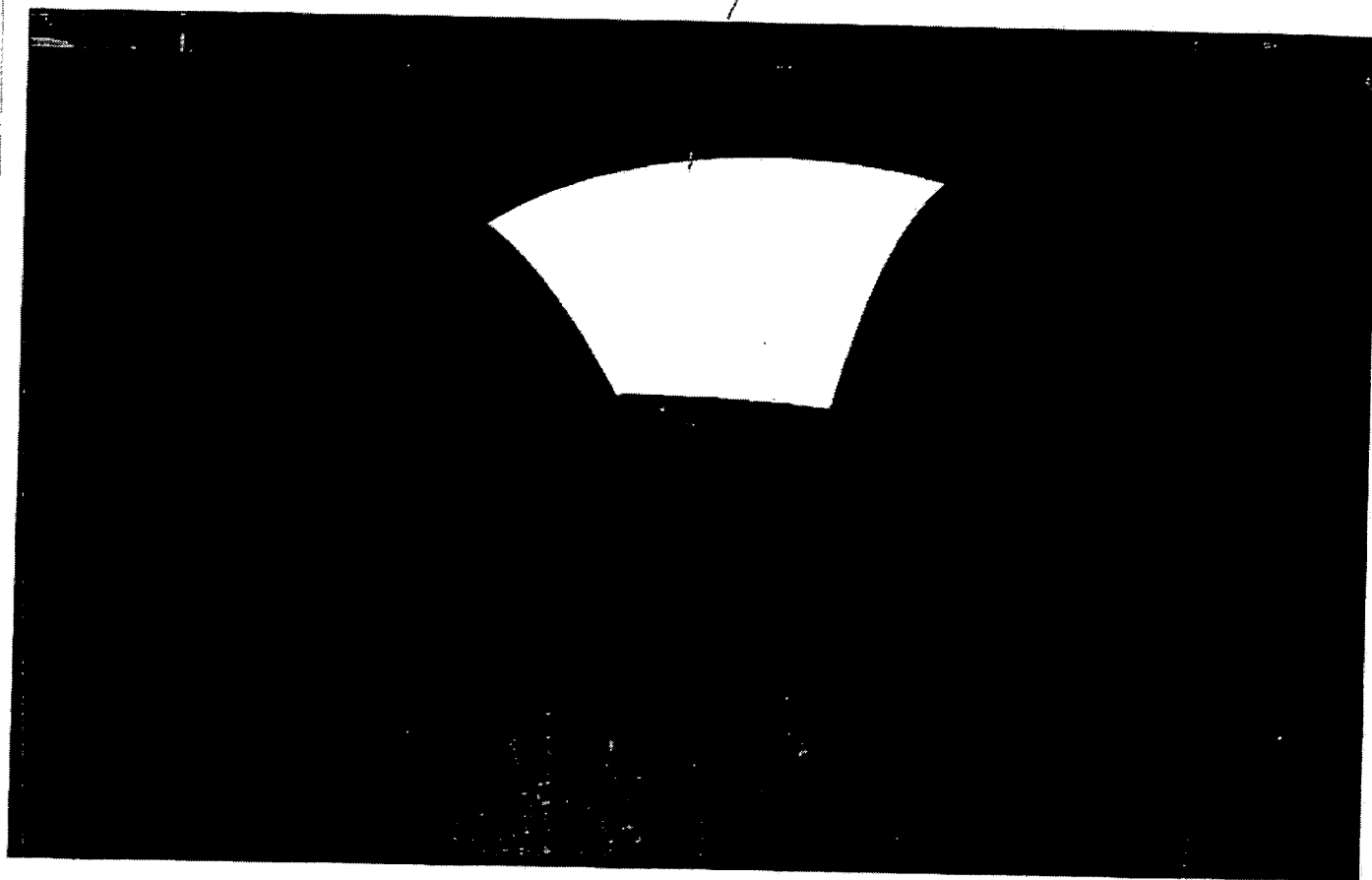
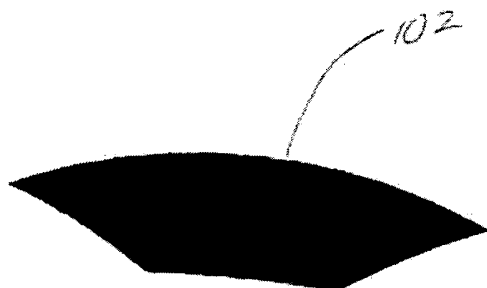


Fig. 20



102

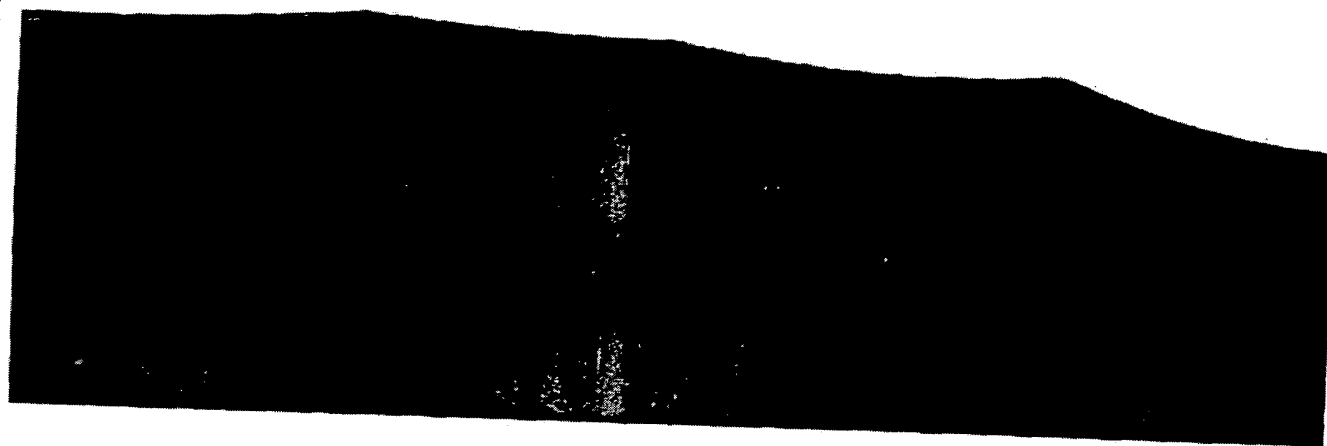


Fig. 2E

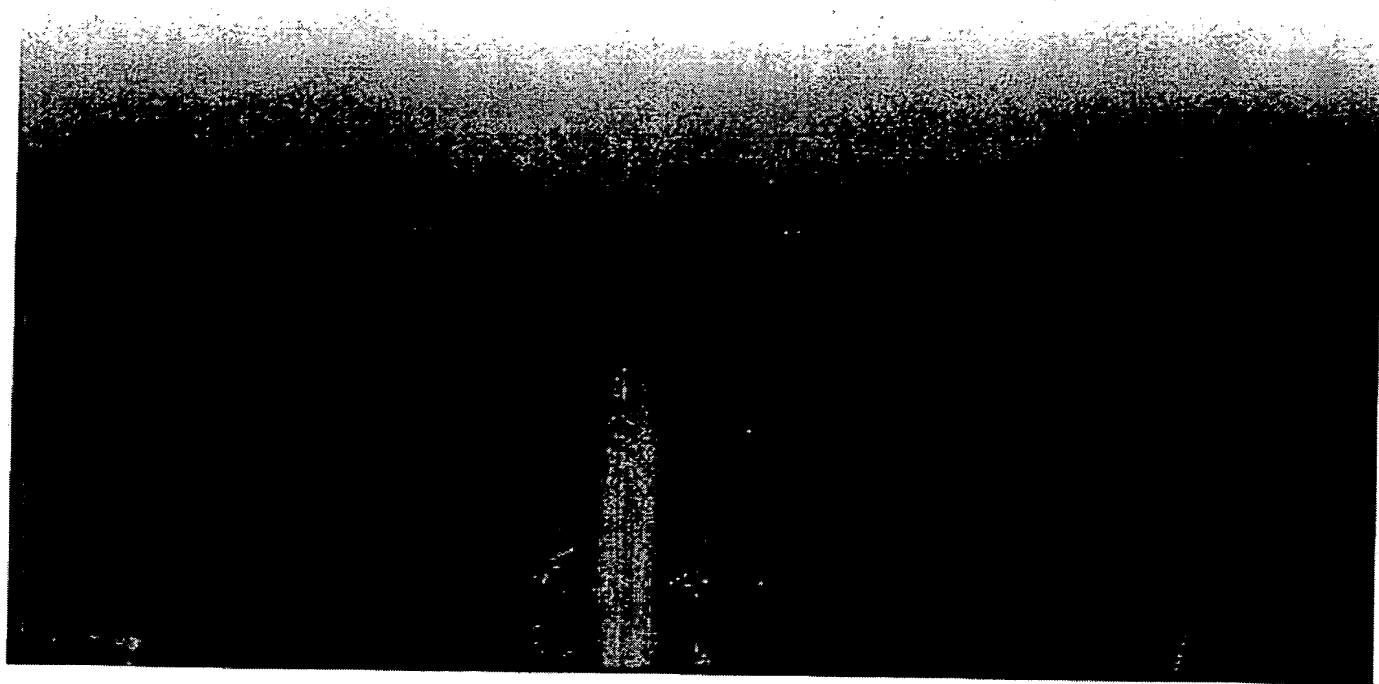


Fig. 2F

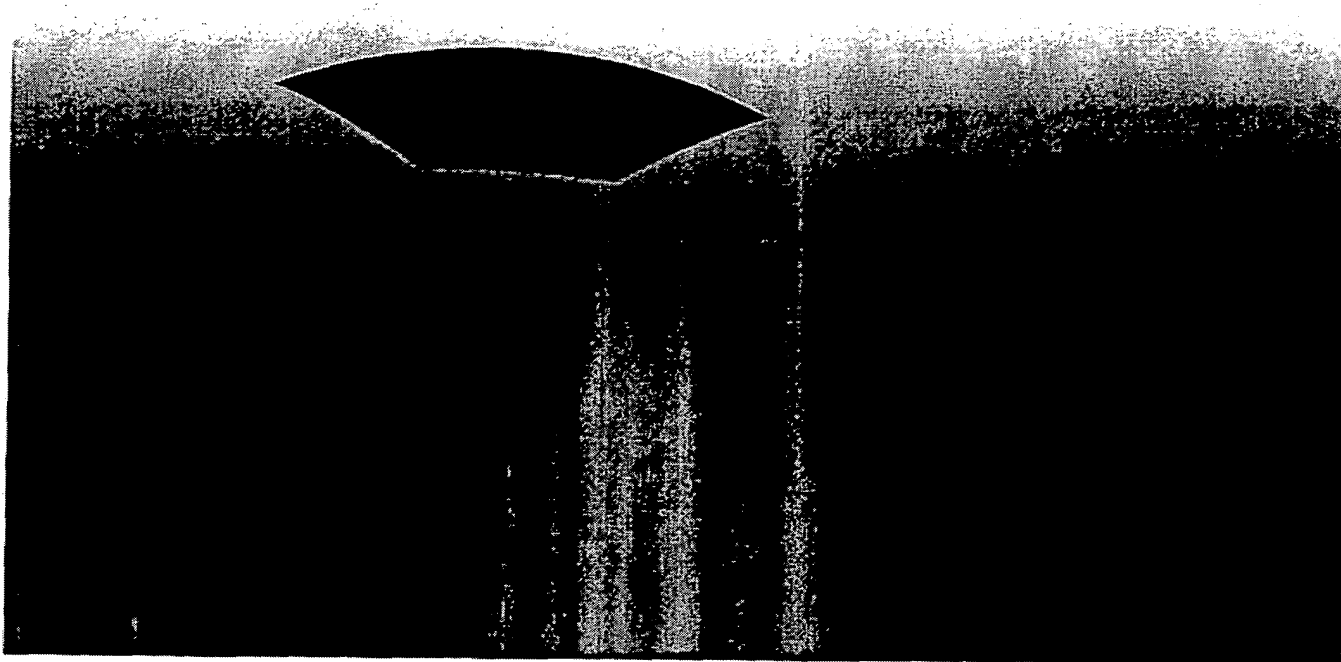


Fig. 26

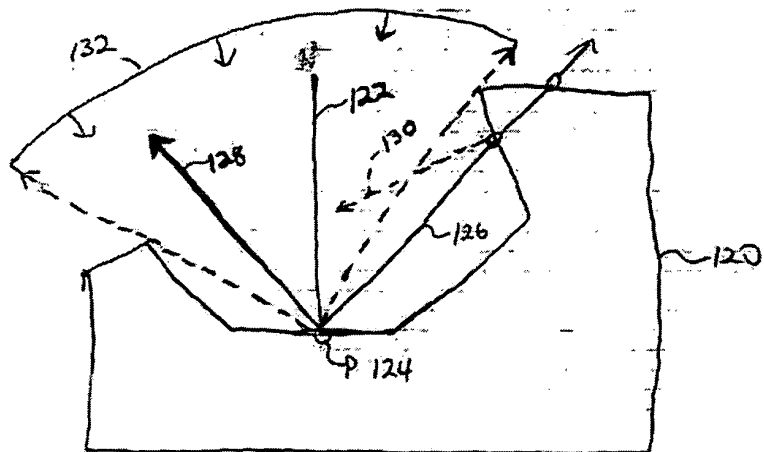


Fig. 3

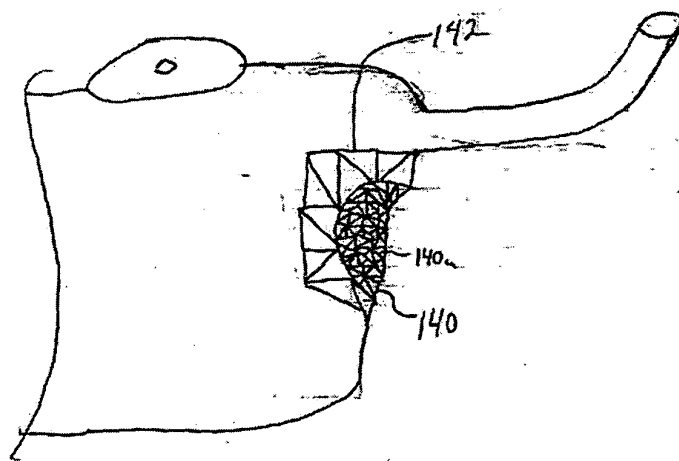


Fig. 4A

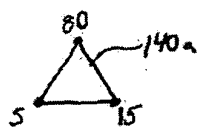


Fig 4B

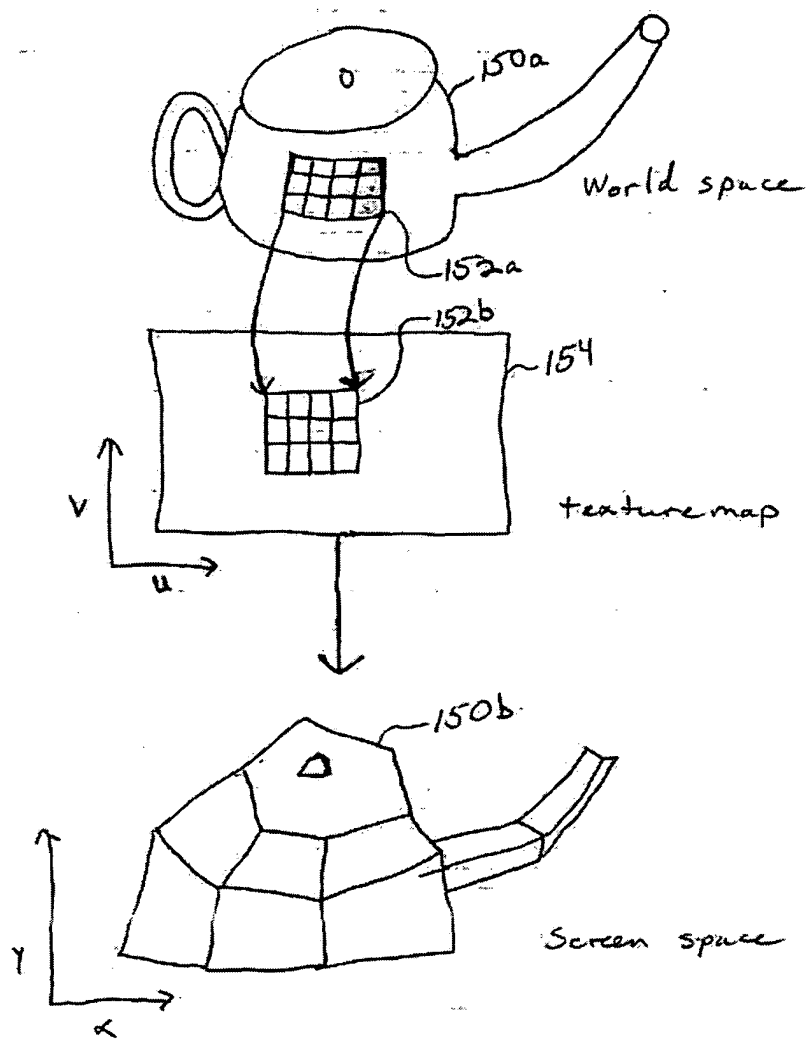


Fig. 5

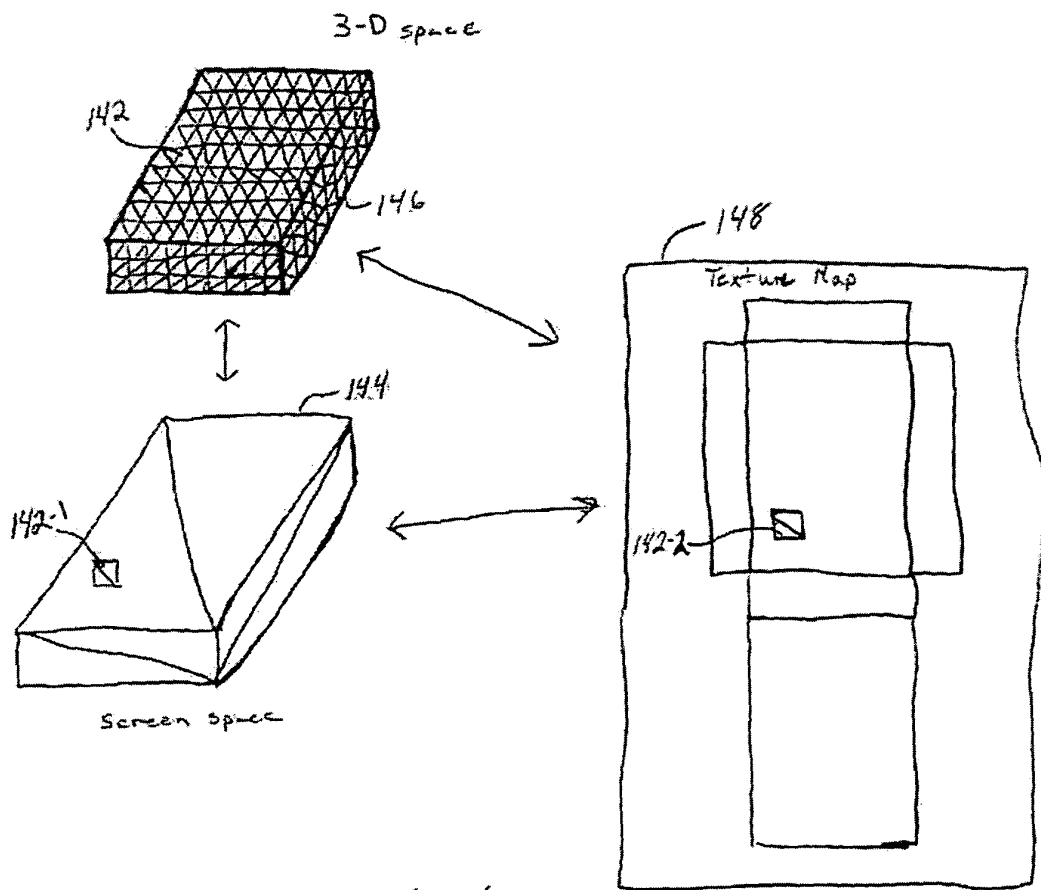


Fig 6

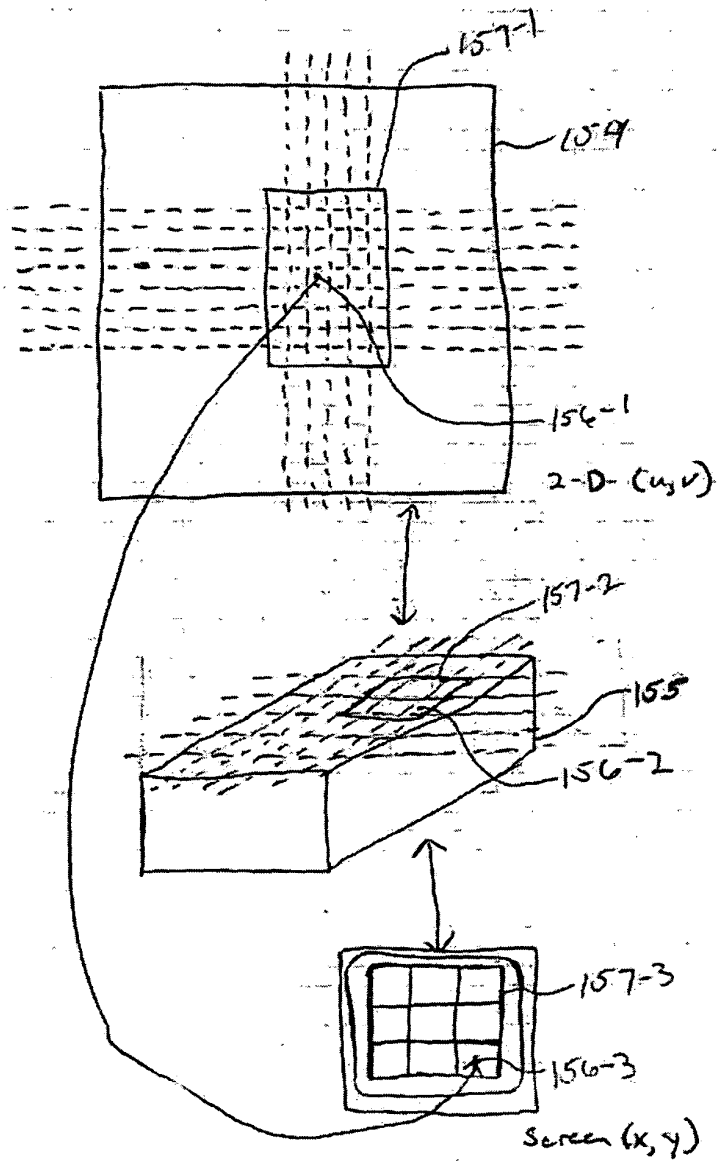


Fig 7

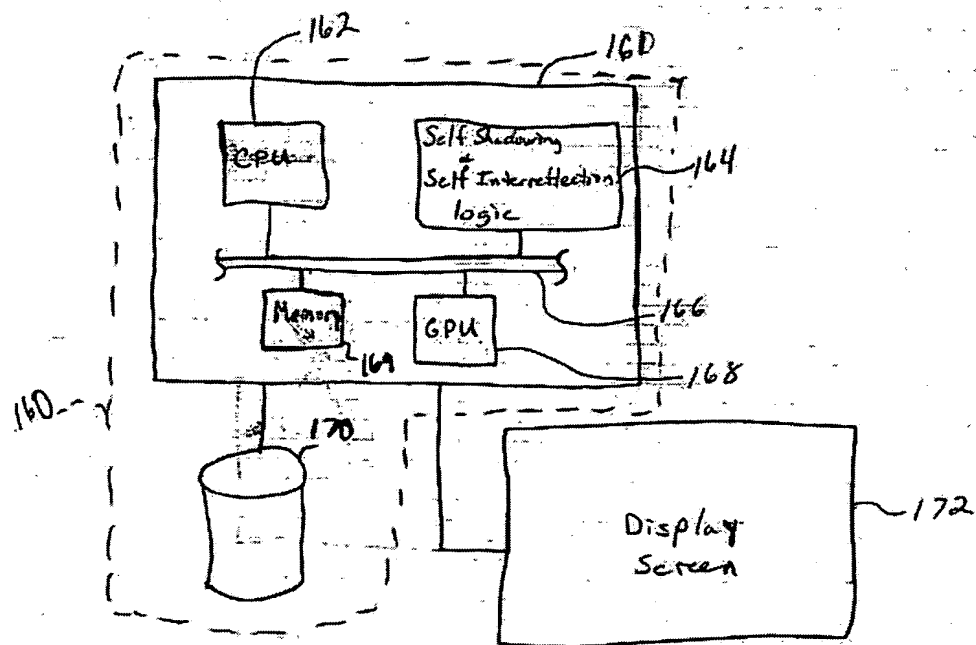


Fig. 8

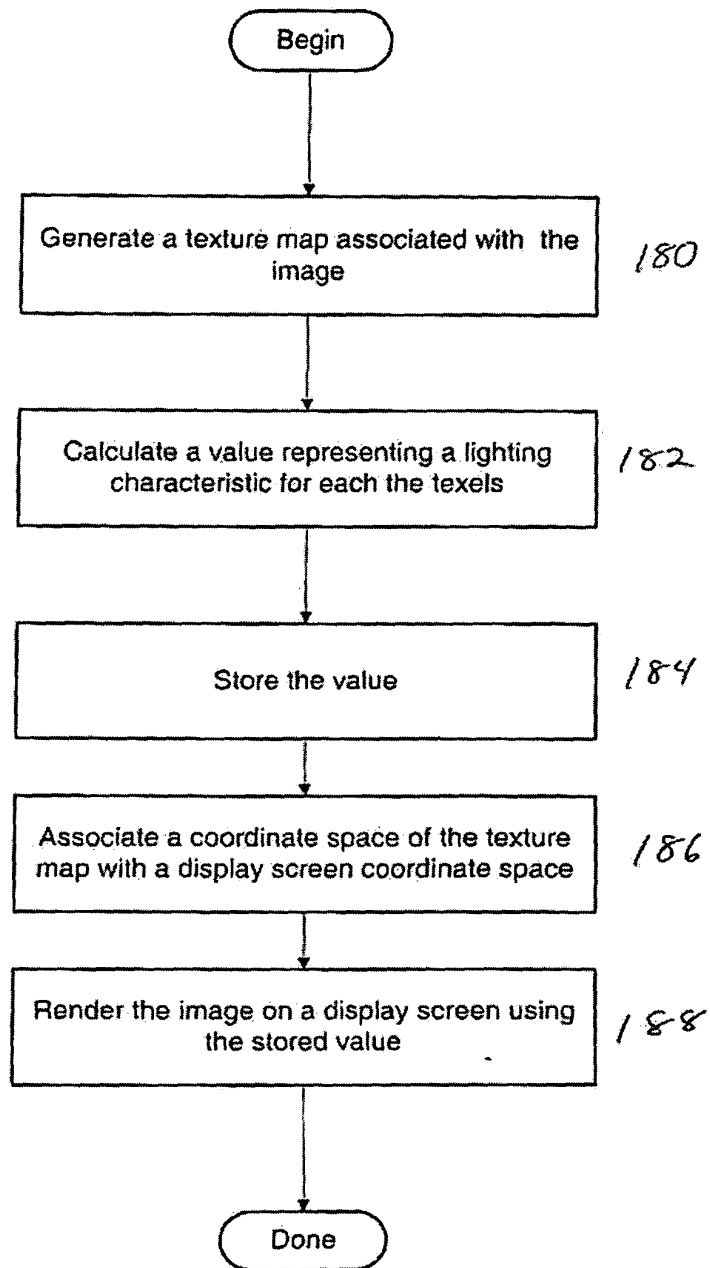


Fig. 9

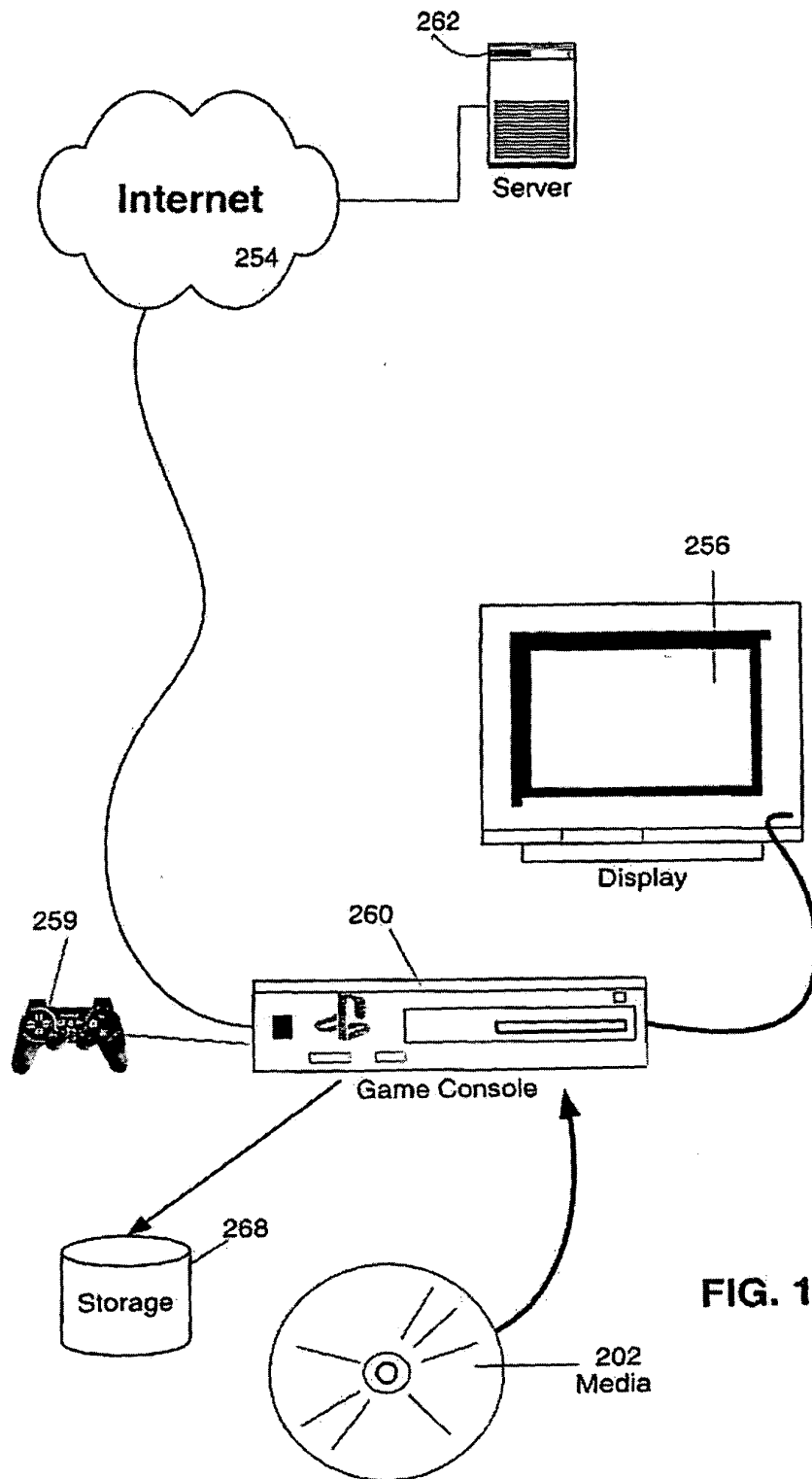


FIG. 10

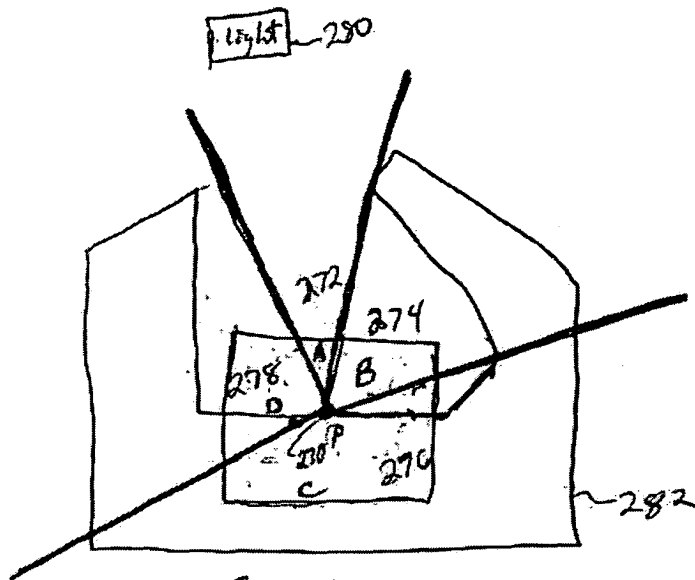


Fig. 11

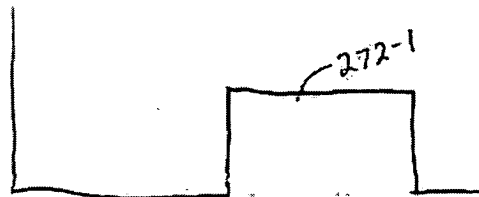


Fig. 12A



Fig 12B



Fig 12C

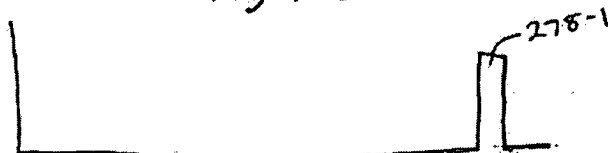


Fig 12D

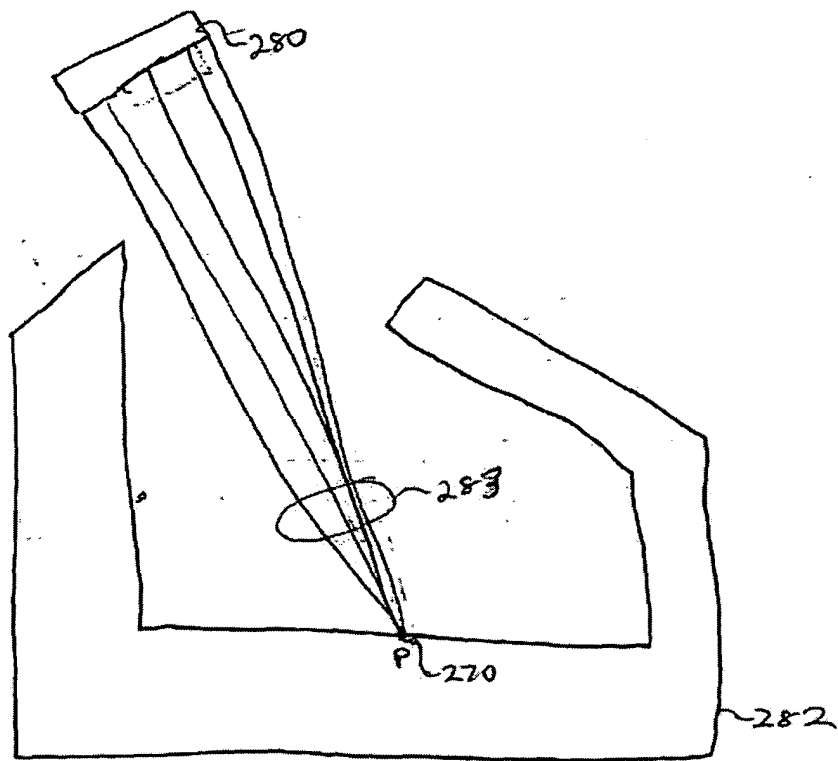


Fig. 13A

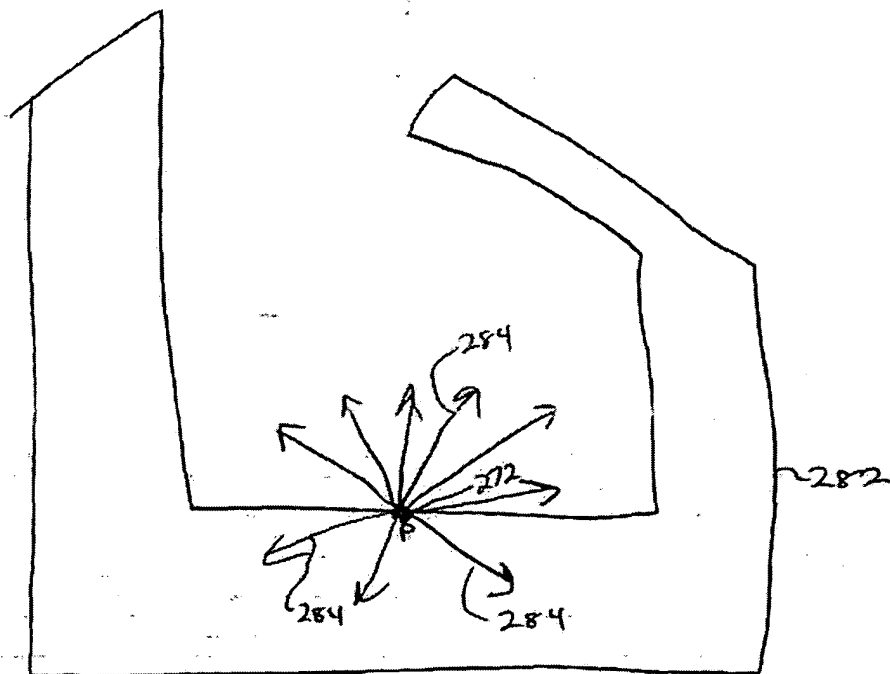


Fig. 13B

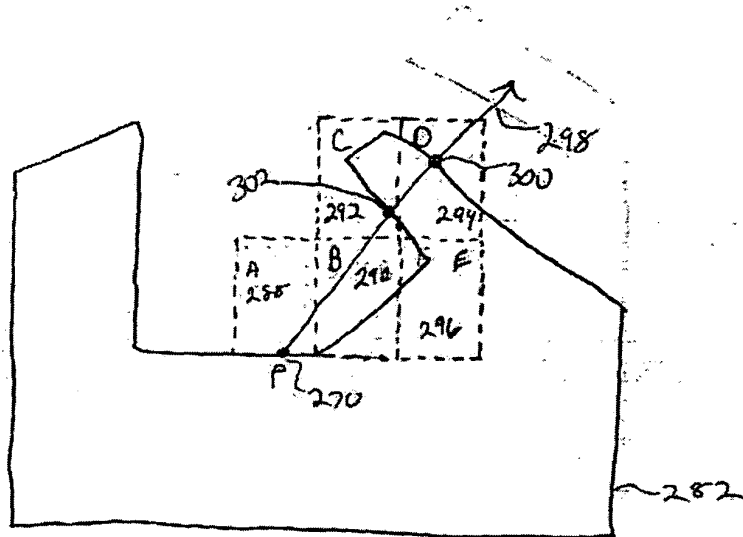


Fig. 14

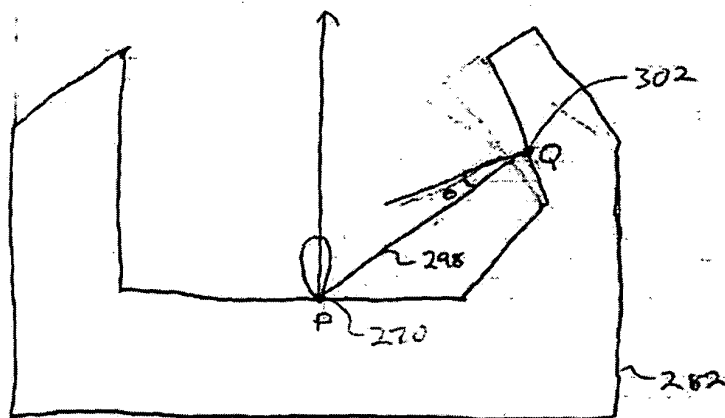


Fig. 15

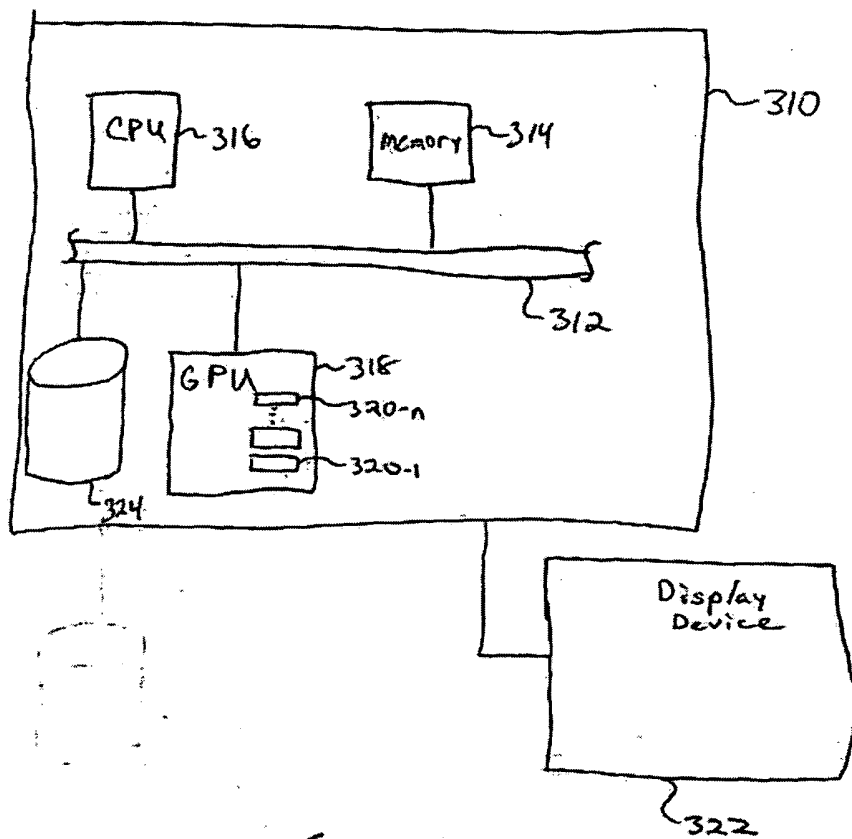


Fig. 16

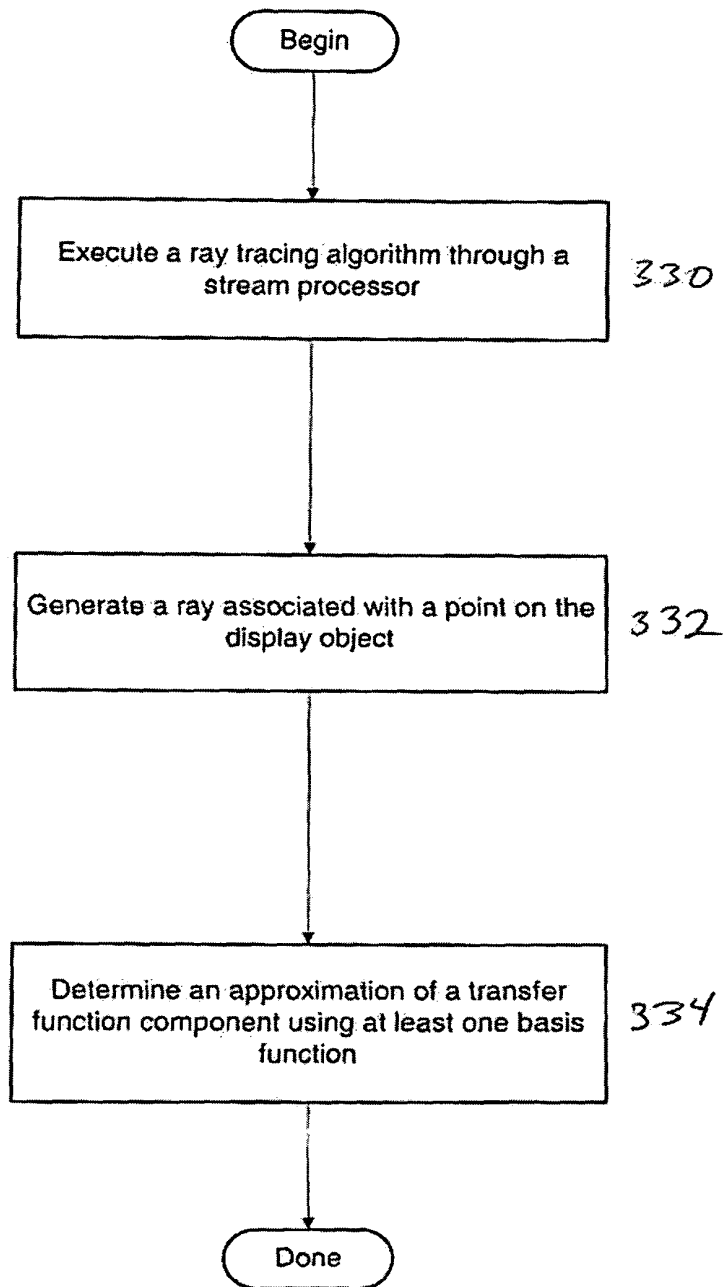


Fig. 17

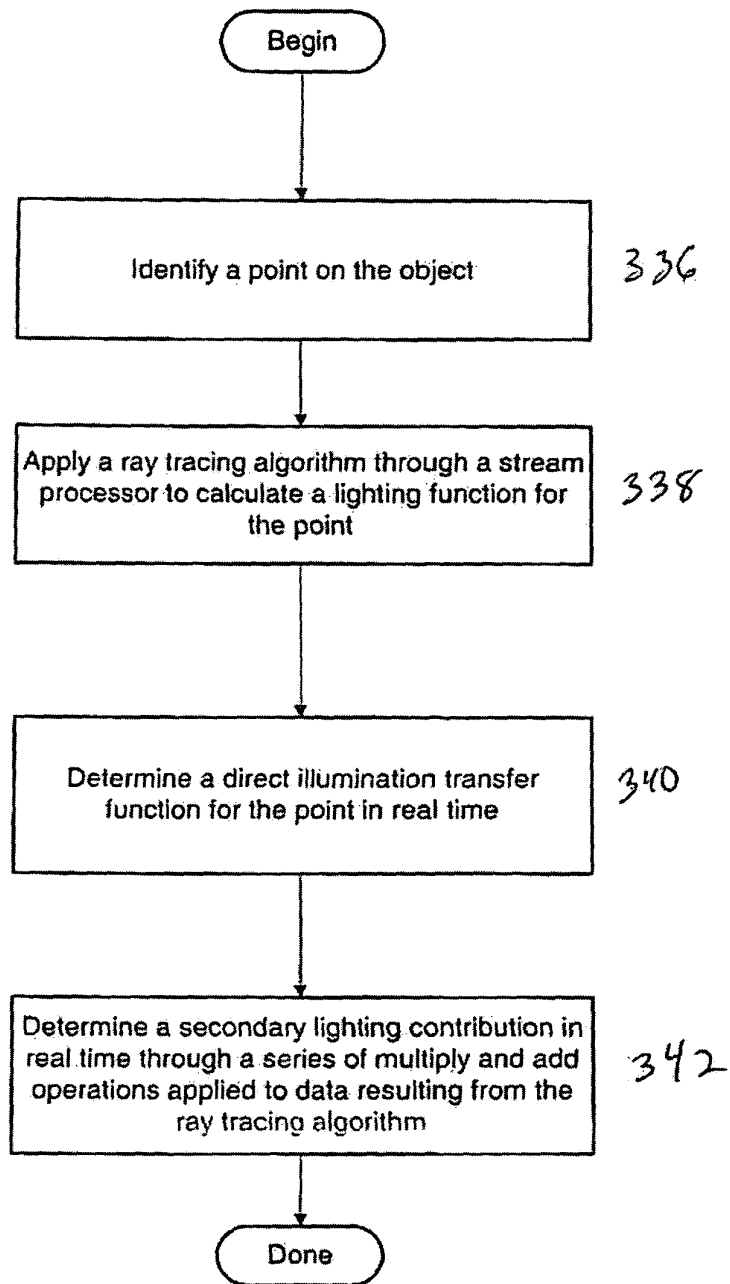


Fig. 18